

1. まえがき

施工条件から要求される適切な流動特性を持ったコンクリートの配合を効率よく選定するためには、コンクリートの配合要因と流動特性との関係づける必要がある。これに関しては、いくつかの研究が成されある限られた条件下で関係式が求められているが、影響する要因が多く、またその組合せが複雑なこともあって、材料の特性や配合要因と流動特性との関係の定式化には成功していない。

本報告は、フレッシュコンクリートをビンガム物体と仮定し、モルタルの性質、粗骨材の量を変化させた場合の、レオロジー定数と配合要因との関係を表すパラメータについて、実験的に検討したものである。

2. 実験の概要

比重3.17、ブレン値3110<sup>cm<sup>2</sup>/g</sup>の普通ポルトランドセメント、比重2.64、粗粒率2.90の陸砂を用いた。粗骨材としては、比重2.61、実積率56.6%、粗粒率6.43の5〜15mmの砕石、比重2.48、径12.6mm、実積率61.3%のガラス玉および比重2.50、径16.8mm、実積率60.3%のガラス玉を使用した。

コンクリートの配合は、セメントペースト中のセメントの体積濃度 $v_c (= \frac{C}{w+C})$ すなわち水セメント比、モルタル中の細骨材の体積濃度 $v_g (= \frac{G}{w+C+G})$ およびコンクリート中の粗骨材の体積濃度 $v_g (= \frac{g}{w+C+G+g})$ の体積割合で示し、表-1に示すスランプ値0.5cm〜24.7cmのものとした。空気量については、無視した。

1バッチ25Lの試料は、強制練りミキサで全材料投入後3分間で練り混ぜ、水および骨材の温度を調節して、練り上がり温度が20±2℃になるようにした。

スランプ値を測定後、平行板プラストメータ<sup>3)</sup>を用いて、モルタルは直径30cm、高さ約3cm、コンクリートは直径60cm、高さ約6cmの円板状試料の降伏値 $\tau_y$ および塑性粘度 $\eta_{pl}$ を測定した。なお、本実験で用いた平行板プラストメータでは、スランプ値15cm以上の配合では、若干の測定誤差が考えられるが、このような配合は、本実験では定式化の対象外となるので、この誤差は無視した。測定は、同一条件に対して日を変えて2回以上行った。

細骨材の表面積はふるい分析法<sup>4)</sup>、粗骨材の表面積は5〜10および10〜15mmの各50個づつから投影法<sup>5)</sup>で求めた。

粗骨材に付着して一体となって挙動するものとしてモルタル量は、振動台(3600rpm, 2g)に取付けた容器に5mm標準ふるいを固定し、練りさじ2杯分のコンクリートを載せ、40秒間振動させて、その時取ったものとした。平均付着モルタル厚さは、配合によって異なるが、0.20〜0.78mmとばった。

3. 実験結果および考察

モルタルの性質が一定の場合には、図-1に示すように表-2に示す付着モルタルを加えたみかけの粗骨材体積濃度 $N_{ge}$ と相対レオロジー定数とは、定式化できることを得ている<sup>1)</sup>。しかし、モルタル

表-1 コンクリートの配合要因とその組合せ

$v_g$	$v_c$ (W/C)	0.45			0.50			0.55		
		0.38 (0.52)	0.40 (0.48)	0.42 (0.44)	0.38 (0.52)	0.40 (0.48)	0.42 (0.44)	0.38 (0.52)	0.40 (0.48)	0.42 (0.44)
0.00	○(100)	○(100)	○(100)	○(100)	○(100)	○(100)	○(100)	○(100)	○(100)	○(100)
0.15			○(72)	○(72)	◎(74)	○(74)	○(76)	○(76)	○(76)	○(76)
0.20			○(64)	○(64)	○(67)	◎(67)	○(67)	○(69)	○(69)	○(69)
0.25			○(57)	○(57)	○(57)	◎(57)	○(60)	○(62)	○(62)	○(62)
0.30	○(51)	○(51)	○(51)	○(54)	◎(54)	○(54)	○(56)	○(56)	○(56)	○(56)
0.35	○(46)	○(46)	○(46)	○(48)	◎(48)	○(48)	○(51)	○(51)	○(51)	○(51)
0.40	○(40)	○(40)	○(40)	○(43)	◎(43)	○(43)	○(45)	○(45)	○(45)	○(45)

◎印は測定した配合を示す。ただし、◎印はガラス玉 12.6mm および 16.8mm についても測定した。( )内は細骨材量 % を示す。

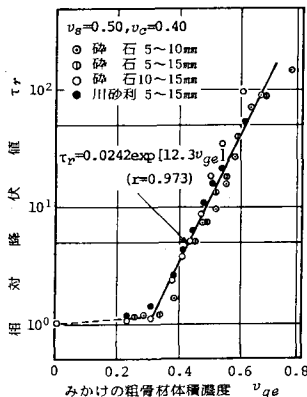


図-1  $N_{ge}$  と  $\tau_r$  との関係<sup>1)</sup>

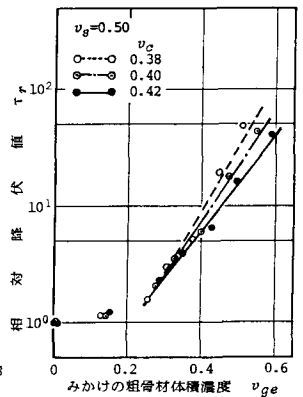


図-2  $N_{ge}$  と  $\tau_r$  との関係

の性質が異なる場合は、図-2に見られるように、 $V_{ge}$ では定式化できない。そこで、フレッシュコンクリートを表-2に示すケース2~5の2相材料と考え、細骨材および粗骨材と一体となつて考慮するとして付着ペーストおよびモルタルを考え、表-1に示すパラメータについて検討する。

ケース2および4の $V_a$ および $V_{solid}$ は、細骨材の粒度、粒形の違いを表すパラメータとはならない。ケース3の $V_{ae}$

は、 $V_{ae} = V_{ge} + (1 - V_g)V_{se} - (V_{ge} - V_g) = V_g + (1 - V_g)V_{se}$ となり、結果的には、細骨材の粒度、粒形の違いは表せるが、粗骨材の粒度、粒形の相違は表せない。また、ケース5の $V_{solid}$ においても、 $V_{solid} = V_{ge} + V_{se}(1 - V_g) - (V_{ge} - V_g) + (1 - V_g)(1 - V_a)V_c - (1 - V_g)V_{se}V_c = V_g + (1 - V_g)(V_{se} - V_{se}V_c + V_c)$ となり、ケース3の $V_{ae}$ と同様の結果となる。

そこで、これらのパラメータを用いた場合、粗骨材の粒度、粒形の違いがどのように影響するかを検討するため、これらパラメータとレオロジー定数との関係性を求め、その一例を図-3~6および砕石を用いた実用的な配合の範囲での関係式を表-3に示す。

これらの図および表に示されているように、いずれのパラメータを用いてもほぼ同じ傾向となり、砕石を用いたコンクリートでは、よく似た相関係数となっている。したがって、細骨材の粒度、粒形の違いを表わせる $V_{ae}$ あるいは $V_{solid}$ がより適当なパラメータとなる。図-4~6に見られるように粗骨材の粒度、粒形の影響は、

関係式の1つの係数のみに表われ、この係数に粒度、粒形の影響を含ませれば、より完全なパラメータとなる可能性が考えられ、今後の検討課題である。

参考文献

- 1) 水口S; 土木学会第35回年次講演会要録集, 1980, pp.315-316.
- 2) 角田S; セメント技術年報, Vol.33, 1979, pp.227-230.
- 3) 水口S; フレッシュコンクリートの物性値の測定から考察に際するポゾロンの論文集, 土木学会, 1983, pp.17-24.
- 4) Powers; The Properties of Fresh Concrete, Wiley, pp.26-31.
- 5) 松尾S; セメント技術年報, Vol.3, 1949, pp.170-196, Vol.4, 1950, pp.103-112, Vol.5, 1951, pp.226-230.
- 6) 水口S; 土木学会第34回年次講演会要録集, 1979, pp.65-66.
- 7) 水口S; セメント技術年報, Vol.35, 1981, pp.138-141.

表-2 配合要因の影響を表す各種パラメータ

ケース	マトリックス	インクルージョン	パラメータ
1	モルタル	粗骨材+付着モルタル	$V_{ge}$
2	ペースト	細・粗骨材	$V_a = V_g + (1 - V_g)V_{se}$
3	ペースト	細・粗骨材+付着ペースト+付着モルタル	$V_{ae} = V_g + (1 - V_g)V_{se}$
4	水	セメント+細・粗骨材	$V_{solid} = V_g + (1 - V_g)V_{se} + (1 - V_g)(1 - V_a)V_c$
5	水	セメント+細・粗骨材+付着ペースト+付着モルタル	$V_{solid} = V_g + (1 - V_g)V_{se} + (1 - V_g)(1 - V_a)V_c$

注)  $V_{ge} = V_g + S_g V_{se}$  ただし、 $S_g$ : 細骨材の比表面積 ( $\omega/m^2$ )  $t_f$ : 付着ペースト厚さ(10 $\mu m$ )

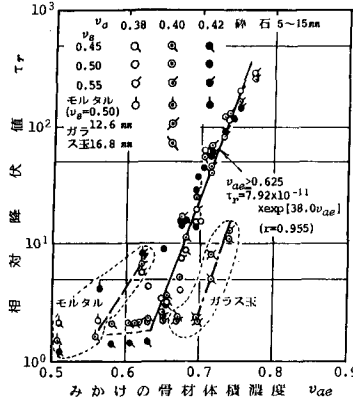


図-3  $V_{ae}$  と  $T_r$  の関係

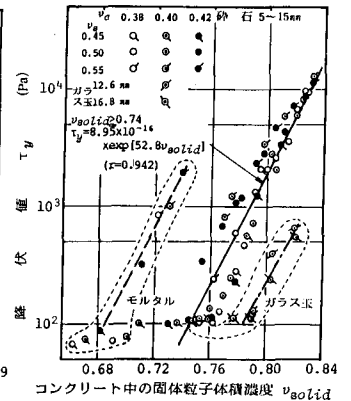


図-4  $V_{solid}$  と  $T_y$  の関係

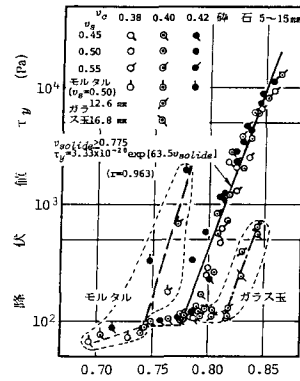


図-5  $V_{solid}$  と  $T_y$  の関係

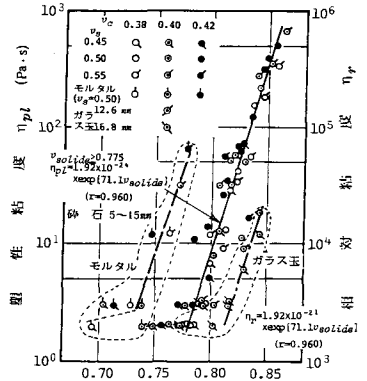


図-6  $V_{solid}$  と  $\eta_p$  の関係

表-3 各種パラメータを用いた関係式

レオロジー定数	値	相関係数	式番号	塑性粘度	相関係数	式番号
$V_{ae}$	$T_r = 7.92 \times 10^{-11} \exp[38.0 V_{ae}]$	0.955	1	$\eta_p = 7.44 \times 10^{-12} \exp[41.3 V_{ae}]$	0.959	2
$V_{solid}$	$T_y = 8.95 \times 10^{-16} \exp[52.8 V_{solid}]$	0.942	3	$\eta_p = 1.35 \times 10^{-13} \exp[59.4 V_{solid}]$	0.925	4
$V_{solid}$	$T_y = 3.33 \times 10^{-20} \exp[63.5 V_{solid}]$	0.963	5	$\eta_p = 1.92 \times 10^{-11} \exp[71.1 V_{solid}]$	0.960	6

注)  $T_y$ : 降伏値 (Pa),  $T_r$ : 相対降伏値,  $\eta_p$ : 塑性粘度 (Pa·s),  $\eta_r$ : 相対粘度